

## The Effects of the Heat Treatment of the ZrO<sub>2</sub> Buffer Layer and SBT Thin Film on Interfacial Conditions and Ferroelectric Properties of the SrBi<sub>2</sub>Ta<sub>2</sub>O<sub>9</sub>/ZrO<sub>2</sub>/Si Structure

Young-Hun Oh, Chul-Ho Park, and Young-Guk Son<sup>†</sup>

School of Materials Science and Engineering, Busan National University, Busan 609-735, Korea

(Received July 13, 2005; Accepted July 15, 2005)

### ZrO<sub>2</sub> 완충층과 SBT 박막의 열처리 과정이 SrBi<sub>2</sub>Ta<sub>2</sub>O<sub>9</sub>/ZrO<sub>2</sub>/Si 구조의 계면 상태 및 강유전 특성에 미치는 영향

오영훈 · 박철호 · 손영국<sup>†</sup>

부산대학교 재료공학부

(2005년 7월 13일 접수; 2005년 7월 15일 승인)

#### ABSTRACT

To investigate the possibility of the ZrO<sub>2</sub> buffer layer as the insulator for the Metal-Ferroelectric-Insulator-semiconductor (MFIS) structure, ZrO<sub>2</sub> and SrBi<sub>2</sub>Ta<sub>2</sub>O<sub>9</sub> (SBT) thin films were deposited on the P-type Si(111) wafer by the R.F. magnetron-sputtering method. According to the process with and without the post-annealing of the ZrO<sub>2</sub> buffer layer and SBT thin film, the diffusion amount of Sr, Bi, Ta elements show slight difference through the Glow Discharge Spectrometer (GDS) analysis. From X-ray Photoelectron Spectroscopy (XPS) results, we could confirm that the post-annealing process affects the chemical binding condition of the interface between the ZrO<sub>2</sub> thin film and the Si substrate. Compared to the MFIS structure without the post-annealing of the ZrO<sub>2</sub> buffer layer, memory window value of MFIS structure with post-annealing of the ZrO<sub>2</sub> buffer layer were considerably improved. The window memory of the Pt/SBT (260 nm, 800°C)/ZrO<sub>2</sub> (20 nm) structure increases from 0.75 to 2.2 V under the applied voltage of 9 V after post-annealing.

**Key words :** ZrO<sub>2</sub> buffer layer, SrBi<sub>2</sub>Ta<sub>2</sub>O<sub>9</sub> thin film, MFIS structure ferroelectric random access memory

#### 1. 서 론

반도체는 1948년 미국에서 발명되어 성공을 거둔 이래 오늘날까지 눈부신 발전을 해오고 있다. 최근 들어 이러한 반도체 산업의 고집적화 및 전자 부품의 소형화 추세로 인하여 기능성 재료의 박막화가 활발히 진행되고 있으며, 이러한 반도체 기술 중 강유전체를 박막화 하여 메모리 소자로 응용하려는 시도가 꾸준히 이루어지고 있다. 차세대 비휘발성 메모리용 소자로 사용 가능성이 높은 FRAM(Ferroelectric Random Access Memory)은 기본적으로 비휘발성 특성을 가지며, bit 당 생산비가 낮고 고집적화가 가능하다. 또한 Access time이 빠르며 전력소모가 적고, radiation에 대한 저항성이 큰 장점도 가지고 있다. FRAM은 EEPROM과 비교할 때 write/erase cycle 횟수가 10<sup>10</sup>대 10<sup>4</sup>~10<sup>5</sup>으로 월등히 우수하며 SRAM과 비교할 때

read/write cycle time은 비슷하나 FRAM은 별도의 battery 없이 비휘발성 특성을 유지할 수 있는 장점을 가지고 있다.<sup>1)</sup> 이러한 FRAM은 크게 두 가지로 구분 할 수 있는데 DRO(Destructive Read Out)형과 NDRO(Nondestructive Read Out)형이 있다. 강유전체를 이용한 일반적인 FRAM은 DRO 방식의 FRAM이로서 1 캐패시터 + 1 트랜지스터 구조 또는 2캐패시터 + 2 트랜지스터 구조로 이루어 진다. 이 구조의 경우 소자의 안정적인 동작이 보장되는 반면 공정상의 복잡성과 셀 크기의 증가로 인한 고집적화가 이루어지기 힘들다는 단점이 있다. 또한 소자의 데이터 저장이나 판독 시 강유전체 물질의 분극 변화를 수반하기 때문에 피로에 의한 소자 내구성의 문제를 안고 있다. 반면 Metal-Ferroelectric-Semiconductor(MFS)-FET 구조를 가지는 NDRO FRAM의 경우는 분극의 반전을 이용한 데이터의 판독을 행하지 않으므로 소자 내구성에서 상당한 이점을 가지고 있으며 또한 캐패시터가 불필요함으로 셀의 면적 축소로 인한 고집적화를 이를 수 있다는 장점이 있다.<sup>2)</sup> 하지만 MFS 구조에서는 강유전체와 Si 기판 계면에서 상호 확산에 의한 중간상 (intermediate phase)

<sup>†</sup>Corresponding author : Young-Guk Son

E-mail : ykson@pusan.ac.kr

Tel : +82-51-510-2445 Fax : +82-51-512-0528

의 형성으로 인한 소자 특성 저하가 문제로 지적되고 있다.<sup>3)</sup> 따라서 이러한 문제를 극복하고자 강유전체와 Si 기판 사이에 완충층 역할을 하는 산화막을 삽입한 Metal-Ferroelectric-Insulator-Semiconductor(MFIS)-FET 구조를 제작하여 이러한 문제점을 해결하고자 하는 연구가 활발히 진행되고 있다. 이에 주목 받고 있는 산화물로는 HfO<sub>2</sub>, ZrO<sub>2</sub>, CeO<sub>2</sub>, Y<sub>2</sub>O<sub>3</sub>,<sup>4)</sup> Al<sub>2</sub>O<sub>3</sub>, SiO<sub>2</sub> 등을 들 수 있다. 이 중에서 ZrO<sub>2</sub>는 900°C의 고온에서 silicate를 형성하지 않고 고온에서 안정하기 때문에 MFIS FET 구조의 완충층으로 가장 주목 받고 있는 재료이다. ZrO<sub>2</sub>는 monoclinic, tetragonal, cubic 상과 amorphous 상으로 존재한다. ZrO<sub>2</sub> 상은 제조 방법과, 공정 조건에 의해서 결정된다. ZrO<sub>2</sub> 박막은 이제 까지 reactive beam evaporation, sputtering,<sup>5)</sup> ion-assisted deposition, pulsed laser deposition, sol-gel법 등으로 제조되어 왔다. 특히 reactive sputtering의 경우 미세구조와 박막의 성질에 중착조건이 크게 영향을 미친다고 알려져 있다.

본 연구의 목표는 ZrO<sub>2</sub> 완충층의 열처리에 따른 Pt/SBT/ZrO<sub>2</sub>/Si 구조의 전기적 특성과 계면 특성을 비교하는 것이다. 더불어 고성능 FRAM 개발에서 MFIS 구조의 적용 가능성을 타진해 보는 것이다. ZrO<sub>2</sub>와 SBT 박막은 p-type Si (111) 기판에 R.F. magnetron-sputtering 방법으로 중착하였다.

## 2. 실험 방법

본 실험에서는 p-type Si(111) 웨이퍼를 1.5 × 1.5 cm의 크기로 절단하고, RCA 세정법으로 시편의 불순물과 금속 오염물을 제거하였다. 그 다음 Si 웨이퍼 위에 SiO<sub>2</sub> 층을 제거하기 위해 HF(50%)와 DI-water를 1 : 50으로 혼합한 용액으로 세정하고, 알코올로 세척하였다. 준비한 Si 웨이퍼 위에 R.F./D.C. magnetron sputtering으로 ZrO<sub>2</sub>, SBT, Pt를 차례로 중착하였다.

ZrO<sub>2</sub> 완충층은 Si(111) 기판위에 D.C. magnetron sputtering법을 이용하여 두께를 20 nm으로 중착하였으며 ZrO<sub>2</sub>를 중착하기 위해서 Zr 금속 타겟(99.99%)을 사용하여 반응성 스퍼터링을 하였다. 이때 아르곤과 산소의 분압비를 6 : 4로, D.C. power는 256 mA로 고정하여 상온에서 중착 후 800°C 산소분위기에서 20분간 열처리하였다.

SBT 박막은 ZrO<sub>2</sub>/Si 기판위에 R.F. magnetron sputtering을 이용하여 두께를 260 nm으로 중착하였다. 이때 아르곤과 산소의 분압비를 9 : 1로, R.F. power는 120 W로 고정하여 상온에서 중착하였다. 그리고 SBT 박막의 결정화를 위해 관상로를 이용하여 800°C에서 1시간 열처리를 하여 박막을 결정화하였다.

상부전극 Pt는 금속 타겟(99.99%)을 이용하여 R.F. sputtering으로 직경 0.75 mm의 도트 형태로 중착하였고, 하부 접촉은 Si 웨이퍼 후면을 10% HF 용액으로 자연 산

**Table 1.** Typical Deposition Conditions for ZrO<sub>2</sub>, Pt, SrBi<sub>2</sub>Ta<sub>2</sub>O<sub>9</sub> Thin Film Preparation

Thin film	ZrO <sub>2</sub>	Pt	SBT
Base pressure	1.5 × 10 <sup>-5</sup> Torr	1.5 × 10 <sup>-5</sup> Torr	1.5 × 10 <sup>-5</sup> Torr
Working pressure	1 × 10 <sup>-2</sup> Torr	1 × 10 <sup>-2</sup> Torr	1 × 10 <sup>-2</sup> Torr
Power	256 mA(D.C.)	80 W (R.F.)	120 W (R.F.)
Sputtering gas	Ar:O <sub>2</sub> (6:4)	Ar	Ar:O <sub>2</sub> (9:1)
Substrate temperature	RT	RT	RT

화막을 제거한 후 은으로 옴 접촉을 이루도록 하였다. 자세한 중착조건은 Table 1에 나타내었다.

증착한 시편의 결정화를 조사하기 위해 XRD(X-Ray Diffraction, Rigaku, Japan)분석을 행하였다. 이때 사용한 X-선은 32.5 kV, 25 mA, Ni 필터를 사용한 Cu K $\alpha$ 선 ( $\lambda = 1.5405 \text{ \AA}$ )이다.

표면에서의 미세 구조 변화 및 두께를 관찰하기 위해 주사전자현미경(Field Emission Scanning Electron Microscope, Hitachi S-4200, Japan)을 사용하였으며 Mechanical Stylus (Tenkor  $\alpha$ -step, USA)를 이용하여 두께 관찰을 병행하였다.

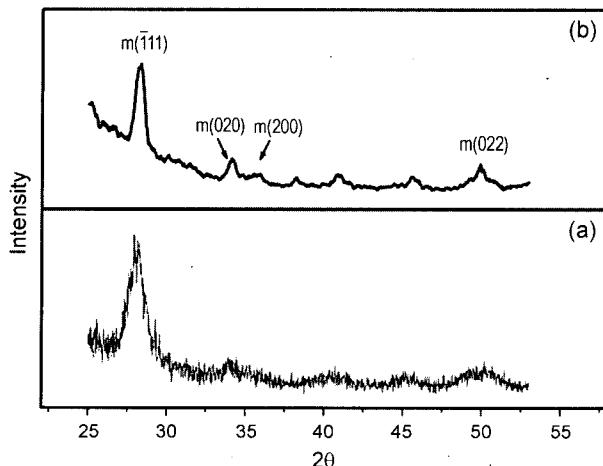
SBT/ZrO<sub>2</sub>/Si 구조의 깊이에 따른 조성의 변화는 glow discharge spectrometer (GDS, JY 10000RF, Jobin Yvon, France) 분석에 의해 관찰하였다. 그리고 ZrO<sub>2</sub> 완충층과 Si 기판 사이의 계면에서의 화학적 결합상태를 관찰하기 위해서 XPS(X-ray Photoelectron Spectroscopy, ESCALAB 250 XPS Spectrometer, VG Scientific)를 사용하였다. X-ray source로는 단색화된 Al K $\alpha$ 를 사용했으며 15 kV, 55 W, 250  $\mu\text{m}$  크기의 X-ray beam을 사용하였다. 에칭을 위해서 3 kV의 argon ion gun으로 30초당 한번씩의 에칭을 하였으며 charge에 의한 에너지 오차를 막기 위해서 two flood gun을 이용하였다.

ZrO<sub>2</sub>의 열처리 과정에 따른 MFIS 구조의 C-V 특성을 알아보기 위해서 1 MHz에서 Impedance analyzer HP 4192A를 사용하였다.

## 3. 결과 및 고찰

### 3.1. ZrO<sub>2</sub> 박막의 미세구조

Fig. 1은 관상로 800°C의 산소분위기에서 20분간 후열처리 과정을 행 한 ZrO<sub>2</sub>/Si 구조와 열처리 과정을 행하지 않은 ZrO<sub>2</sub>/Si 구조의 XRD 패턴 나타낸 그림이다. 이 결과에서 ZrO<sub>2</sub> 완충층의 결정성은 후열처리 과정에 많은 영향을 받음을 알 수 있다. 후열처리 과정을 하지 않은 ZrO<sub>2</sub> 완충층에서는 결정성이 나타나지 않는 반면 800°C에서 열처리한 ZrO<sub>2</sub> 완충층의 경우 후열처리 과정을 통해 결정성을 나타내었다. 약 28° 피크에서 monoclinic 상의 주된 (111) 면을 나타내며, 나머지 다른 상들에서도 monoclinic 상을 나타내었다.<sup>6)</sup> 일반적으로 electron beam으로 중착한



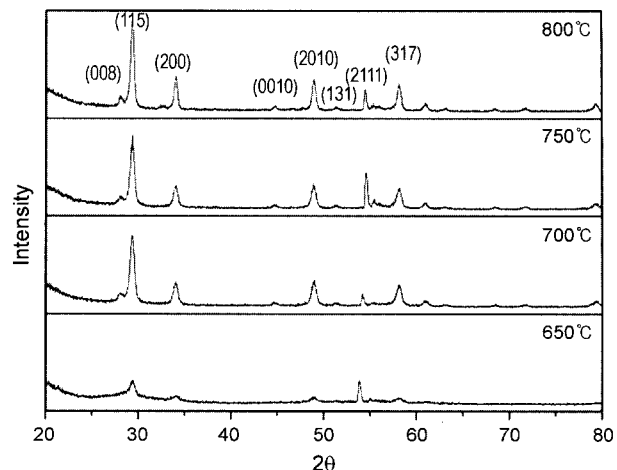
**Fig. 1.** The XRD patterns of the  $\text{ZrO}_2$  thin films deposited on the Si substrate; (a)  $\text{ZrO}_2$  film without the post-annealing process and (b)  $\text{ZrO}_2$  film with the post-annealing at  $800^\circ\text{C}$  for 20 min.

$\text{ZrO}_2$  박막의 미세구조와 Kim,<sup>7)</sup> Mehner<sup>8)</sup>의 결과에서는 random orientation을 나타내는 반면 본 연구에서의 박막의 주된 상은 monoclinic(ASTM 36-420)<sup>9)</sup>상임을 XRD 결과를 통해 확인할 수 있었다.

### 3.2. SBT 박막의 미세구조

Fig. 2는 관상로  $650^\circ\text{C}$ ,  $700^\circ\text{C}$ ,  $750^\circ\text{C}$ ,  $800^\circ\text{C}$ 의 산소 분위기에서 1시간 동안 후열처리한 SBT/ $\text{ZrO}_2$ /Si 구조의 XRD 패턴을 나타낸 그림이다. 열처리 온도가  $800^\circ\text{C}$ 로 증가할수록, (115), (200), (2010), (317) 면이 성장하였다.  $750^\circ\text{C}$ 이하의 온도에서 열처리한 SBT 박막은 뚜렷한 결정상이 나타나지 않는 반면  $800^\circ\text{C}$ 에서 열처리한 SBT 박막은 Bi-layered structure 구조로 다결정 상을 이루었다.

Fig. 3은 SBT/ $\text{ZrO}_2$  ( $800^\circ\text{C}$ )/Si 구조의 표면 및 횡단면을 나타낸 그림이다. Fig. 3(a)와 (b)는 각각  $750^\circ\text{C}$ ,  $800^\circ\text{C}$  관상



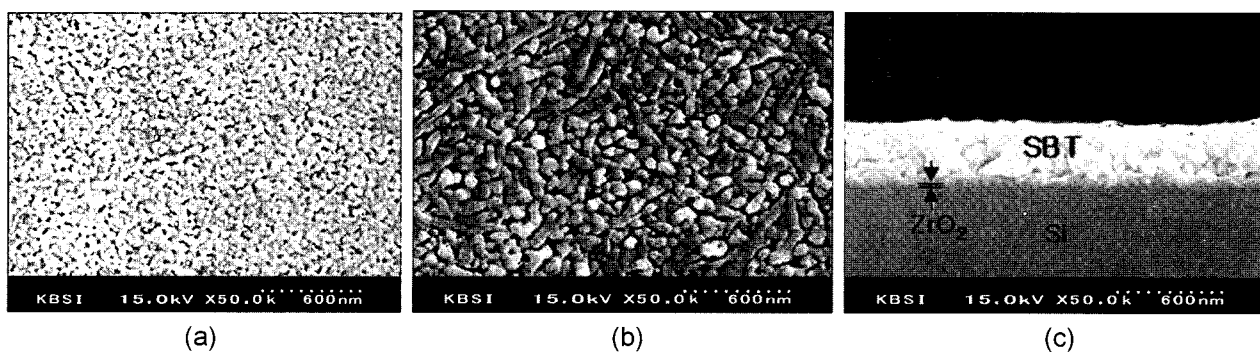
**Fig. 2.** The XRD pattern of SBT (260 nm)/ $\text{ZrO}_2$  (20 nm)/Si structures annealed at  $650^\circ\text{C}$ ,  $700^\circ\text{C}$ ,  $750^\circ\text{C}$ ,  $800^\circ\text{C}$  for 1 h in the  $\text{O}_2$  ambient.

로의 산소 분위기에서 1시간씩 열처리한 SBT/ $\text{ZrO}_2$ /Si 구조의 표면상을 나타낸 것이다. Fig. 2의 결과와 같이  $800^\circ\text{C}$  이상의 온도에서 완전한 결정이 성장하였음을 알 수 있다. Fig. 3(a)에서  $750^\circ\text{C}$  열처리한 SBT 박막의 경우 아주 미세한 결정의 다결정이었다. 이에 반면 Fig. 3(b)에서 관상로 산소 분위기에서  $800^\circ\text{C}$ 로 1시간 열처리한 SBT 박막은 결정이 크고 다결정이었다. Figs. 2와 3에서  $800^\circ\text{C}$  이상의 열처리 온도가 SBT 박막을 결정화 시키는 데에 필요하다는 것을 알 수 있었다.<sup>10)</sup>

### 3.3. Glow Discharge Spectrometer (GDS) 분석

$\text{ZrO}_2$ 와 SBT 증착 후 4가지 다른 열처리 조건이 박막 조성에 미치는 영향을 SBT/ $\text{ZrO}_2$ /Si 구조의 GDS depth profiling을 통해서 관찰할 수 있었다.

Fig. 4는 4가지 다른 열처리 분위기에 따라 예칭시간에 대한 구성원소의 GDS 강도를 나타낸 그림이다. Fig. 4(a)



**Fig. 3.** The SEM micrographs of SBT (260 nm)/ $\text{ZrO}_2$  (20 nm,  $800^\circ\text{C}$ )/Si structures.

- (a) the surface image of SBT (260 nm,  $750^\circ\text{C}$ )/ $\text{ZrO}_2$  (20 nm)/Si structure
- (b) the surface image of SBT (260 nm,  $800^\circ\text{C}$ )/ $\text{ZrO}_2$  (20 nm)/Si structure
- (c) the cross sectional image of SBT (260 nm,  $800^\circ\text{C}$ )/ $\text{ZrO}_2$  (20 nm)/Si structure.

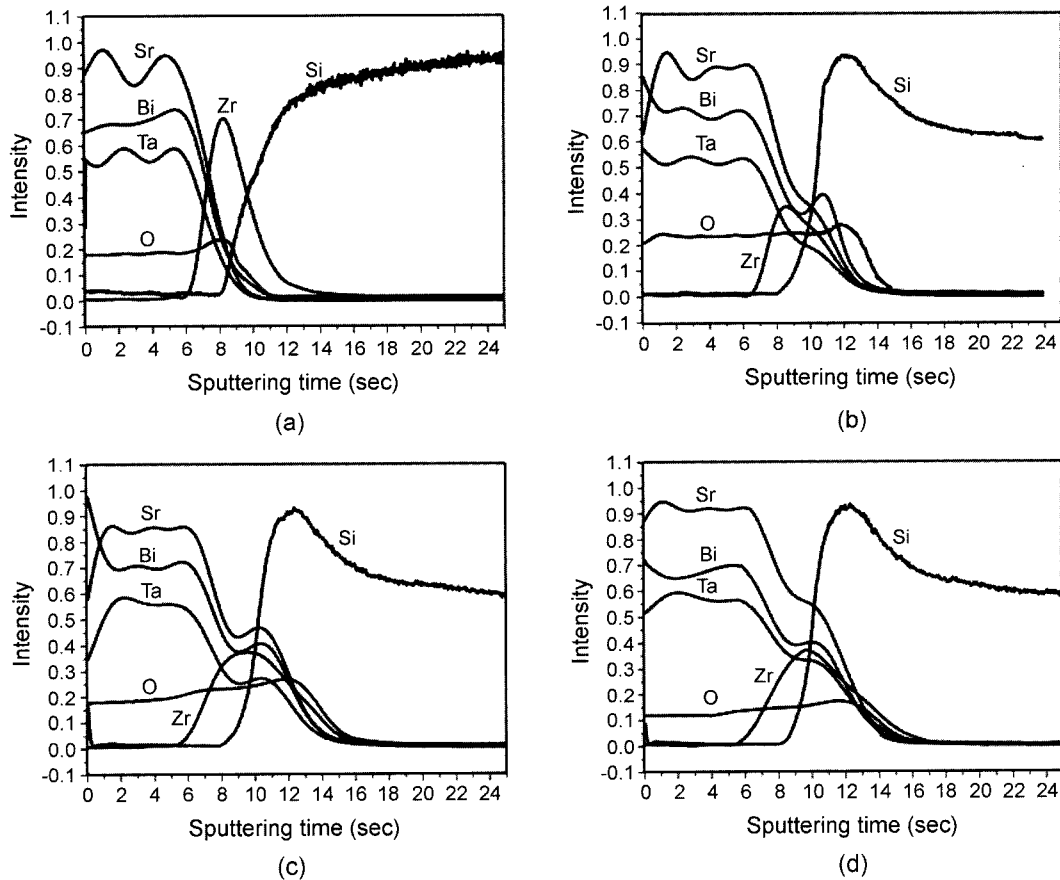


Fig. 4. The GDS depth profiles of SBT (260 nm)/ZrO<sub>2</sub> (20 nm)/Si structures.

- (a) SBT (without post-annealing)/ZrO<sub>2</sub> (without post-annealing)/Si structure
- (b) SBT (without post-annealing)/ZrO<sub>2</sub> (with annealing at 800°C for 20 min)/Si structure
- (c) SBT (with annealing at 800°C for 1 h)/ZrO<sub>2</sub> (without post-annealing)/Si structure
- (d) SBT (with annealing at 800°C for 1 h)/ZrO<sub>2</sub> (with annealing at 800°C for 20 min)/Si structure.

는 ZrO<sub>2</sub>, SBT 박막을 열처리하지 않고, Fig. 4(b)는 ZrO<sub>2</sub> 박막만 800°C에서 열처리한 것을, Fig. 4(c)는 SBT 박막만 800°C에서 열처리한 것을, Fig. 4(d)는 ZrO<sub>2</sub>, SBT 박막을 800°C에서 열처리한 것이다. SBT/ZrO<sub>2</sub>/Si 구조는 가장 밖의 표면층, SBT 박막, SBT/ZrO<sub>2</sub> 계면, ZrO<sub>2</sub>층, ZrO<sub>2</sub>/Si 계면, Si 기판으로 6층으로 나눌 수 있다. Fig. 4(a)에서 각 층은 뚜렷한 계면을 보이며 서로 독립된 층으로 존재하였다. 그러나 SBT/ZrO<sub>2</sub>와 ZrO<sub>2</sub>/Si의 계면에서 약간의 상호 확산은 일어났음을 확인할 수 있다. 이에 반면 Fig. 4(b)에서는 ZrO<sub>2</sub> 박막의 열처리 과정을 통해 상당량의 ZrO<sub>2</sub>가 ZrO<sub>2</sub>/Si 계면 쪽으로 확산되었다. Fig. 4(c)와 (d)는 거의 유사한 형태를 나타내지만, Sr, Bi, Ta 원자가 Fig. 4(d) 보다 Fig. 4(c)의 경우가 더 깊이 확산되었다. 그리고 Zr 원자는 Si 기판 쪽으로 Zr 피크가 꼬리모양을 형성함을 통해 Si 기판 쪽으로 깊이 확산되었음을 알 수 있었다. GDS 측정 결과를 통해 Zr, Sr, Bi, Ta 등의 원소들이 후열처리 과정을 통해 확산되었고, ZrO<sub>2</sub>층의 후열처리

유무에 따라 Sr, Bi, Ta 원소들의 확산 정도가 약간씩 차이가 남을 알 수 있었다.

### 3.4. X-ray Photoelectron Spectroscopy(XPS) 분석

ZrO<sub>2</sub> 원층층과 Si 기판 사이 계면의 화학적 상태를 X-ray photoelectron spectroscopy을 통해하여 관찰하였다. XPS 측정을 위해 ZrO<sub>2</sub>/Si 구조는 800°C 관상로 산소 분위기에서 20분 동안 후열처리 한 것과 하지 않은 것을 각각 준비하였다.

Fig. 5는 열처리하지 않은 ZrO<sub>2</sub>/Si의 Si 2p에 대한 XPS spectra을 나타낸 그림이다. Si와 SiO<sub>2</sub>의 피크의 spectra는 각각 결합 에너지 99.09 eV(Si 2p<sub>3/2</sub>)와 102.9 eV(Si 2p<sub>1/2</sub>)에서 공존하고 있음을 알 수 있다. ZrO<sub>2</sub>/Si 계면 영역에서 SiO<sub>2</sub>의 양이 Si에 비해 더 작아짐을 알 수 있다.

Fig. 6은 열처리하지 않은 ZrO<sub>2</sub>/Si의 Zr 3d에 대한 XPS spectra을 나타낸 그림이다. ZrO<sub>2</sub>/Si 구조의 계면에서 결합 에너지 183.05, 185.35, 178.89, 181.02 eV는 각각 Zr-O의

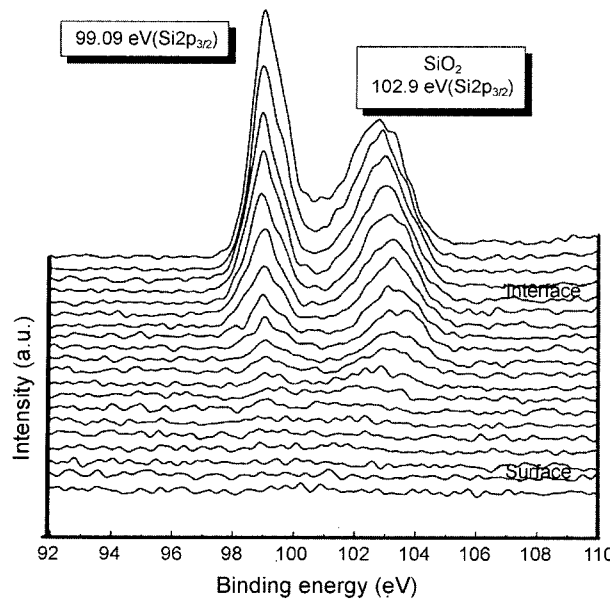


Fig. 5. The high resolution XPS spectra of Si2p of ZrO<sub>2</sub>/Si structure without the post-annealing process.

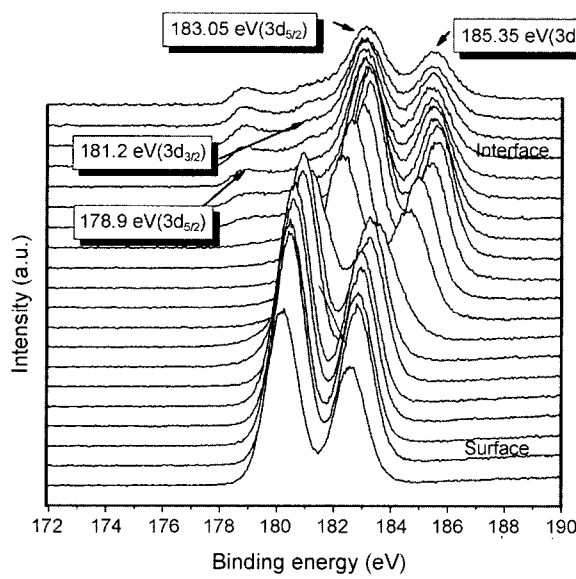


Fig. 6. The high resolution XPS spectra of Zr3d of ZrO<sub>2</sub>/Si structure without the post-annealing process.

결합인 Zr 3d<sub>5/2</sub>, Zr 3d<sub>3/2</sub> 그리고 금속 Zr의 Zr 3d<sub>5/2</sub>, Zr 3d<sub>3/2</sub>를 나타낸다. 하지만 표면 부근에서 Zr-O 결합의 피크가 180.45 eV(Zr 3d<sub>5/2</sub>)와 182.85 eV(Zr 3d<sub>3/2</sub>)로 변화했다. 이것은 증착 초기에 상당량의 Si와 산소가 반응하여 Zr이 남았음을 의미한다. 증착공정이 진행될수록 Zr-O의 결합이 우선하지만 비정질 ZrO<sub>2</sub>의 약한 결합상태도 나타났다.

Fig. 7은 관상로 산소 분위기에서 800°C로 20분간 열처리한 ZrO<sub>2</sub>/Si 구조의 Si 2p의 XPS spectra을 나타낸 그림

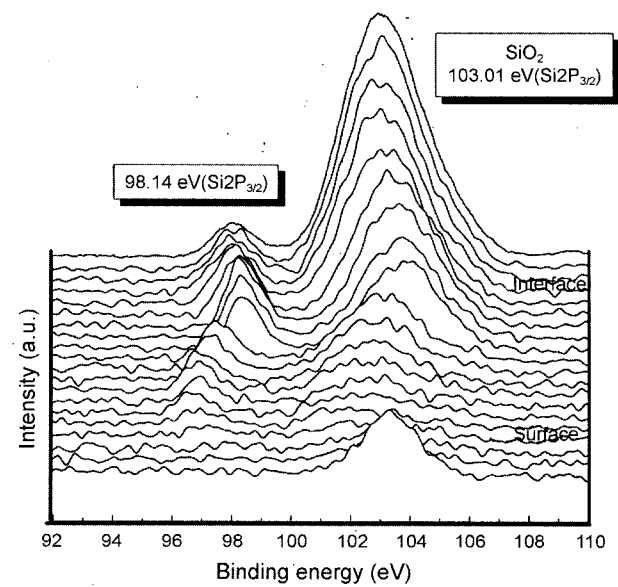


Fig. 7. The high resolution XPS spectra of Si2p of ZrO<sub>2</sub>/Si structure annealed at 800°C for 20 min. in the O<sub>2</sub> ambient.

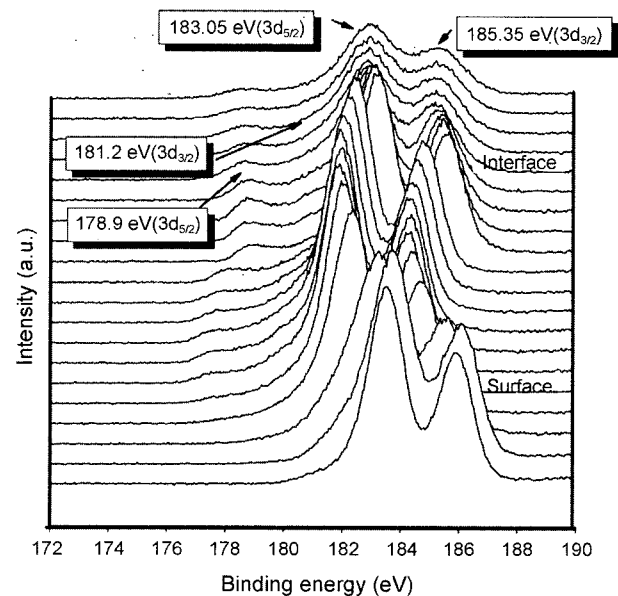


Fig. 8. The high resolution XPS spectra of Zr3d of ZrO<sub>2</sub>/Si structure annealed at 800°C for 20 min. in the O<sub>2</sub> ambient.

이다. Fig. 5와 비교하면 Fig. 7의 SiO<sub>2</sub> 피크가 계면에서 더 강하게 나타남을 알 수 있다.

Fig. 8은 관상로 산소 분위기에서 800°C로 20분간 열처리한 ZrO<sub>2</sub>/Si 구조의 Zr 3d의 XPS spectra을 나타낸 그림이다. Fig. 6과 비교하면 Fig. 8은 178.86 eV의 결합에너지를 갖는 금속 Zr의 ZrO<sub>2</sub> 층의 안쪽에 광범위하게 분포하고 있음을 알 수 있다. 반면에 182.6 eV(Zr 3d<sub>5/2</sub>), 184.9 eV(Zr 3d<sub>3/2</sub>)의 결합에너지를 가지는 Zr-O의 결합은 계면에서 약한 결합 상태로 나타났지만 이 결합들이 강한 결정

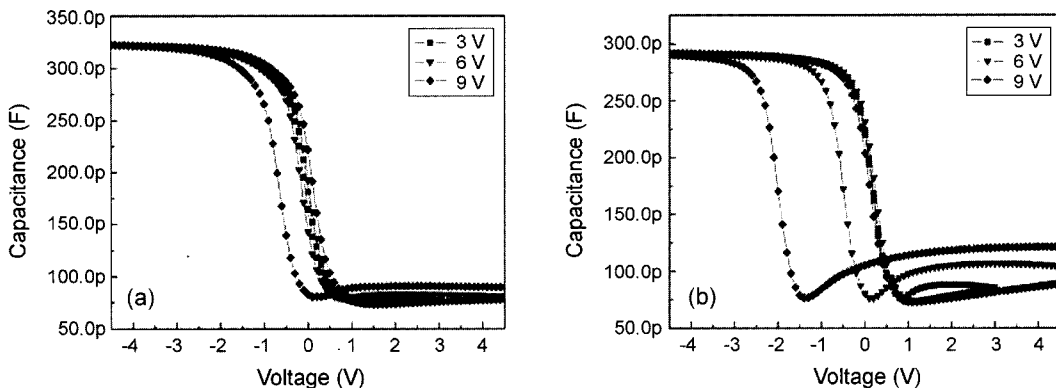


Fig. 9. C-V characteristics of Pt/SBT (260 nm, 800°C)/ZrO<sub>2</sub> (20 nm)/Si structure

- (a) MFIS structure without the ZrO<sub>2</sub> post-annealing process
- (b) MFIS structure with the ZrO<sub>2</sub> annealed at 800°C under the O<sub>2</sub> ambient for 20 min.

상태의 결합에너지로 변화하였다. 그러므로 XPS 결과를 통해서 열처리하지 않았을 때에는 계면에서 적은 양의 SiO<sub>2</sub> 층이 관찰되지만, Zr은 금속 상태로 존재하고, ZrO<sub>2</sub>는 비정질 상태의 약한 결합 에너지를 가짐을 알 수 있었다.

반대로 열처리한 ZrO<sub>2</sub>/Si 구조에서는 SiO<sub>2</sub>와 Zr이 넓게 분포하지만 ZrO<sub>2</sub>의 결합 상태는 후열처리 과정에 의해 강했음을 확인 할 수 있었다.

### 3.5. Pt/SBT/ZrO<sub>2</sub>/Si 구조의 전기적 특성

MFIS 구조의 메모리 윈도우 값을 측정하기 위해 capacitance-voltage 특성(C-V)을 측정하였다.

Fig. 9(a)는 ZrO<sub>2</sub> 완충층의 열처리하지 않은 MFIS 구조의 C-V 특성이다. 메모리 윈도우 값은 인가전압 9 V를 가했을 때 약 0.75 V였다.

Fig. 9(b)는 ZrO<sub>2</sub> 완충층의 열처리한 MFIS 구조의 C-V 특성이다. Memory window 값은 인가전압 9 V에서 약 2.2 V였고, 열처리하지 않은 ZrO<sub>2</sub> 완충층 보다 더 높은 값이 나타났다.

이 결과와 이전에 언급되었던 GDS, XPS 결과로부터 ZrO<sub>2</sub>층이 열처리 과정을 거침으로써 SBT와 Si 기판 사이의 확산 방지막으로서 역할을 한다는 것을 알 수 있었다.

## 4. 결 론

ZrO<sub>2</sub> 완충층과 SBT 박막은 p-type (111) Si 기판 위에 R.F. magnetron sputtering 방법을 통해 증착하였다. 본 실험에서는 ZrO<sub>2</sub>, SBT 박막의 후열처리 과정이 MFIS 구조에 미치는 영향에 대해서 연구하여 다음과 같은 결론을 얻었다.

1. GDS 결과로부터 Zr, Sr, Bi, Ta 등의 원소들이 후열 처리 과정을 통해 확산이 일어남을 알 수 있었다.

2. XPS 결과에서는 ZrO<sub>2</sub>가 후열처리를 거치지 않은 상태에서는 약한 결합 에너지를 가지는 비정질 상태로 존재하였으나 후열처리 과정을 거침으로서 ZrO<sub>2</sub>의 결합에너지가 강해짐을 알 수 있었다.

3. MFIS 구조의 전기적 특성 또한 열처리 과정을 통해 향상되었다.

4. Pt/SBT(260 nm, 800°C)/ZrO<sub>2</sub>(20 nm)/Si 구조에서 ZrO<sub>2</sub> 열처리를 통해 메모리 윈도우 값이 0.75 V에서 2.2 V로 향상되었다.

5. 이 결과로부터 ZrO<sub>2</sub> 완충층은 후열처리 과정 후에 SBT 박막과 Si 기판 사이에서 확산 방지막의 역할을 했음을 알 수 있었다.

## REFERENCES

1. G. P. Choi, J. H. Ann, W. J. Lee, T. H. Sung, and H. G. Kim, "Phase Formations and Electrical Properties of doped-PZT/PbTiO<sub>3</sub> Films Deposited by Reactive Sputtering Using Multi-Targets," *Mater. Sci. and Eng. B*, **41** [1] 16-22 (1996).
2. T. Hirai, K. Teramoto, T. Goto, and Y. Tarui, "Formation of Metal/Ferroelectric/Insulator/Semiconductor Structure with a CeO<sub>2</sub> Buffer Layer," *Jpn. J. Appl. Phys.*, **33** Part 1 [9b] 5219-22 (1994).
3. J. H. Kim, S. G. Kang, and H. T. Eun, "Effects of Y<sub>2</sub>O<sub>3</sub> Buffer Layer on Ferroelectric Properties of YMnO<sub>3</sub> Thin Films Fabricated on Pt/TiO<sub>2</sub>/SiO<sub>2</sub>/Si Substrate(*in Korean*)," *J. Kor. Ceram. Soc.*, **37** [11] 1097-104 (2000).
4. D. R. Lampe, D. A. Adams, M. Austin, M. polinsky, J. Dzimianski, S. Sinharoy, H. Buhay, P. Brabant, and Y. M. Liu, "Process Integration of the Ferroelectric Memory FETs for NDRO FERAM," *Ferroelectrics*, **133** 61-72 (1992).
5. Y. G. Son, "Electrical Properties of Ba<sub>0.5</sub>Sr<sub>0.5</sub>TiO<sub>3</sub> Thin Film with Various Heat Treatment Conditions(*in Korean*)," *J. Kor. Ceram. Soc.*, **38** [5] 492-98 (2001).
6. B. Cheng, M. Cao, R. Rao, A. Inani, P. V. Voorde, W. M. Green, J. M. C. Stork, Z. Yu, P. M. Zeizoff, and J. C. S.

- Woo, "The Impact of High-k Gate Dielectrics and Metal Gate Electrodes on Sub-100 nm MOSFETs," *IEEE Trans. Electron Devises*, **46** [7] 1537-42 (1999).
7. A. Mehner, H. Klumper-Westkamp, F. Hoffmann, and P. Mayr, "Crystallization and Residual Stress Formation of Sol-Gel-Derived Zirconia Films," *Thin Solid Film*, **308/309** 363-68 (1997).
8. K. Goedicke, J.-S. Liebig, O. Zyowitzki, and H. Sahm, "Influence of Process Parameters on the Structure and the Properties of  $\text{ZrO}_2$  Coatings Deposited by Reactive Pulsed Magnetron Sputtering(PMS)," *Thin Solid Film*, **377/378** 37-42 (2000).
9. J. S. Kim, H. A. Marzouk, and P. J. Reucroft, "Deposition and Structural Characterization of  $\text{ZrO}_2$  and Yttria-Stabilized  $\text{ZrO}_2$  Films by Chemical Vapor Deposition," *Thin Solid Film*, **254** 33-8 (1995).
10. P. Tejedor, C. Ocal, E. Barrena, R. Jimenez, C. Alemany, and J. Mendiola, "Composition-Related Effects of Microstructure on the Ferroelectric Behavior of SBT Thin Films," *Appl. Surf. Sci.*, **175/176** 759-63 (2001).